

ПОЛЕ ЗРЕНИЯ

ГАЗЕТА ДЛЯ ОФТАЛЬМОЛОГОВ

№6(56) НОЯБРЬ-ДЕКАБРЬ 2019

ISSN 2221-7746



С Новым годом!

Дорогие коллеги!

Чудесный и волшебный праздник Новый год — уже на пороге! Оставьте в уходящем году все тревоги. Пусть 2020 год озаряет вашу жизнь особой радостью, пробуждает в ваших сердцах любовь. Возвращайте в своей душе чувства доброты, милосердия и щедрости. Берегите себя и друг друга.

С Новым годом, с новыми переменами, с новыми надеждами и победами!

Спасибо друзьям газеты «Поле зрения» за сотрудничество, искреннюю любовь и поддержку.

Редакция газеты «Поле зрения» и издательство «АПРЕЛЬ».

СОБЫТИЕ В ПОЛЕ ЗРЕНИЯ

Выборы в Российскую академию наук – 2019

15 ноября 2019 года профессор, д.м.н. **В.В. Нероев**, главный внештатный специалист офтальмолог МЗ РФ, директор ФГБУ «Национальный медицинский исследовательский центр глазных болезней им. Гельмгольца» МЗ РФ, президент Общероссийской общественной организации «Ассоциация врачей-офтальмологов» избран академиком РАН, отделение медицинских наук РАН, секция клинической медицины.



Академиками Российской академии наук избираются ученые, обогатившие науку трудами первостепенного научного значения.

Под руководством академика РАН В.В. Нероева и при его непосредственном участии разрабатываются патогенетически ориентированные персонализированные подходы

к лечению заболеваний глаз с использованием биомаркеров предикторов. Проводятся фундаментальные исследования иммунологических, биохимических звеньев патогенеза социально значимых заболеваний органа зрения (диабетическая ретинопатия, глаукома, макулярная дегенерация и др.), изучены патоморфологические изменения, особенности клинического течения. На созданной модели изучаются нейродегенеративные изменения глаз при болезни Паркинсона. Изучены молекулярно-генетические звенья патогенеза злокачественных опухолей органа зрения, разработаны методы их ранней диагностики и органосохранного лечения. На моделях ретинальной патологии проводится анализ результатов трансплантации культуры стволовых клеток hiPSC-RPE с целью оценки перспектив метода при лечении пациентов с необратимыми дегенеративными изменениями сетчатки. Проводятся предварительные исследования по созданию электронных устройств, реализующих концепцию «искусственного зрения».

Владимир Владимирович Нероев, академик РАН, директор ФГБУ «НМИЦ ГБ им. Гельмгольца» Минздрава России, профессор, доктор медицинских наук, заслуженный деятель науки РФ, заслуженный врач РФ, главный внештатный специалист-офтальмолог Минздрава России, председатель экспертной группы по специальности «офтальмология» Центральной аттестационной комиссии Минздрава России, председатель Профильной комиссии по офтальмологии Экспертного совета в сфере здравоохранения Минздрава России, заведующий кафедрой непрерывного медицинского образования ФГБУ «НМИЦ ГБ им. Гельмгольца», председатель диссертационного совета, президент Общероссийской общественной организации «Ассоциация врачей-офтальмологов».

..... > стр. 2

КОНФЕРЕНЦИИ • СИМПОЗИУМЫ

XII Российский общенациональный офтальмологический форум

Москва, 1–3 октября 2019 г.



> стр. 7

ОТ ПЕРВОГО ЛИЦА

«Деятельность НМИЦ как механизм реализации государственных проектов в сфере здравоохранения...»

Программный доклад академика РАН В.В. Нероева

> стр. 3



«Современные возможности и проблемы лечения врожденных катаракт»

Программный доклад профессора Л.А. Катаргиной

> стр. 6

АКТУАЛЬНОЕ ИНТЕРВЬЮ



«Развитие отечественной медицинской промышленности — задача чрезвычайной важности»

Интервью с профессором Ю.С. Астаховым

> стр. 18

ЮРИДИЧЕСКАЯ СТРАНИЧКА

«Фирменный стиль и подрядчики. Три совета владельцу клиники, аптеки и оптики...»

Интервью с А.И. Язовским и К.Т. Мусаеляном

> стр. 24

ОФТАЛЬМОЛОГИЯ В ЛИЦАХ

«Дорогой добра»

(продолжение) > стр. 26

В ПОМОЩЬ ПРАКТИКУЮЩЕМУ ВРАЧУ

«Sweet-source оптическая когерентная томография сетчатки»

М.М. Бикбов, Т.Р. Гильманшин, А.А. Зиннатуллин и др.

> стр. 29

Также в номере:

Конференции

> стр. 7, 14, 21-23

Событие в поле зрения

> стр. 12, 13, 20, 25

Оптический бизнес

> стр. 36

К незримо солнцу

> стр. 37

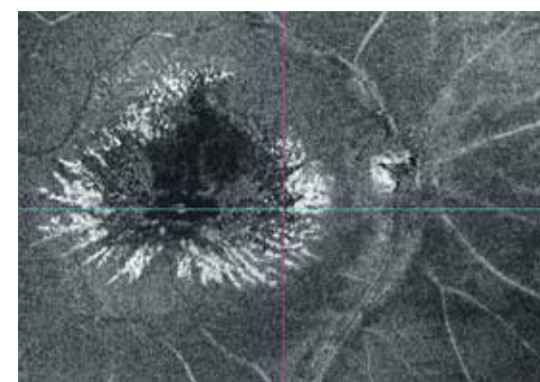


Рис. 224. Фронтальный срез Epi Face в режиме flattening, адаптированный на уровне наружного ядерного и сетчатого слоев. Дефект тканей сетчатки на уровне указанных слоев в виде гетерогенной зоны оптически пустых пространств в фовеа, парафовеа, окаймленный оптически плотными структурами – твердыми эксудатами, образующими неполную фигуру звезды.

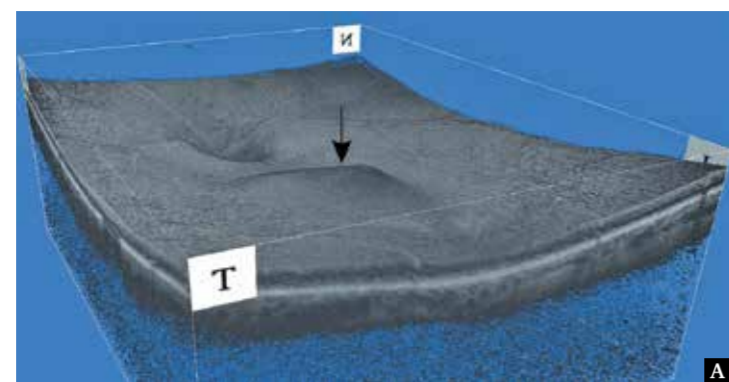


Рис. 225. Изображение поверхностного профиля сетчатки в формате 3D: А – выпуклость поверхности сетчатки в области фовеа, парафовеа (черная стрелка); Б – поперечный срез фовеа. Расслоение сетчатки с приподнятостью внутренних ретинальных слоев. Гетерогенная среда между наружными и внутренними слоями. Твердый эксудат в виде светлых линий на уровне наружных ядерного и сетчатого слоев (белые стрелки).

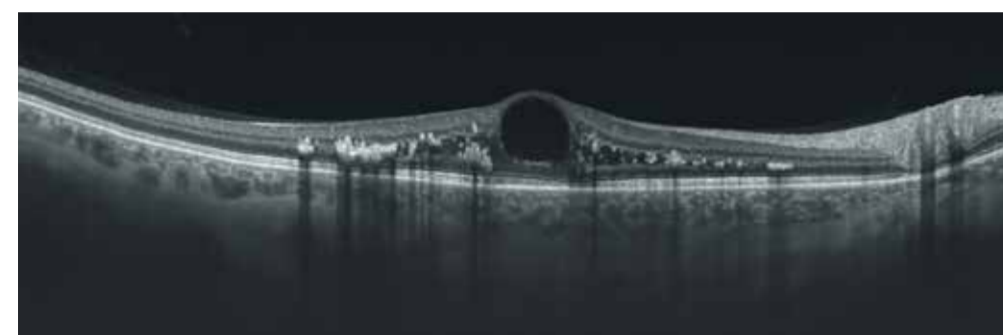
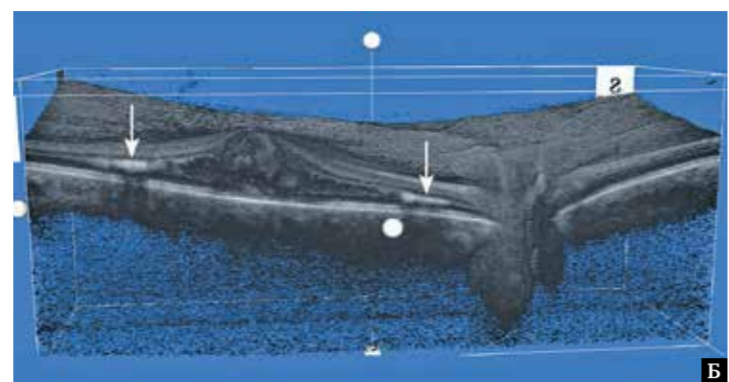


Рис. 226. В-сканограмма поперечного оптического среза диаметром 12 мм. Конвекс-деформация ретинального профиля в фовеа вследствие кистозного отека. Крупная единичная киста фовеальной области. Очаги твердого эксудата.

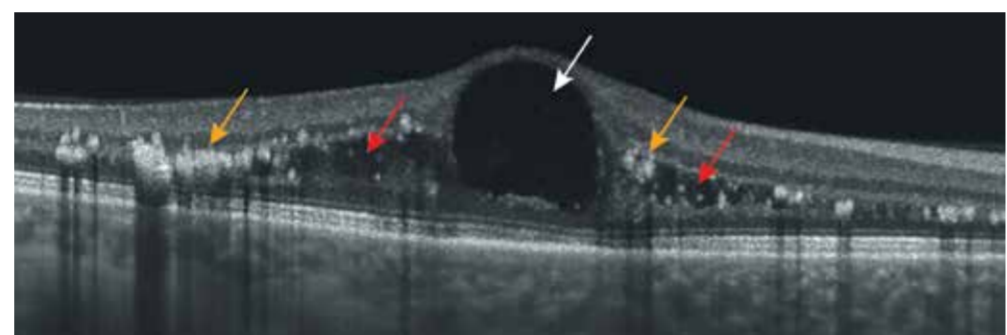


Рис. 227. В-сканограмма поперечного оптического среза диаметром 6 мм. Крупная интратретинальная киста в зоне центральной ямки (белая стрелка). За пределами центральной ямки в наружном плексиформном слое – ячейки кистозного отека, расположенные в ряд (красные стрелки), и плотные гиперэхогенные твердые эксудаты с эффектом экранирования нижележащих слоев сетчатки (желтые стрелки). Эллипсоид и наружная пограничная мембрана сохранены.

Глава 7. Окклюзии сосудов сетчатки

7.4. Окклюзия верхневисочной ветви центральной вены сетчатки на фоне диабетической ретинопатии



Рис. 269. Цветная фотография глазного дна. Множественные интратретинальные кровоизлияния в виде языков пламени, штрихов и точек по ходу верхневисочной сосудистой аркады. Рисунок макулярной области ступешван, сглажен. Отек фовеальной области. Частичная декорация височной половины ДЗН.

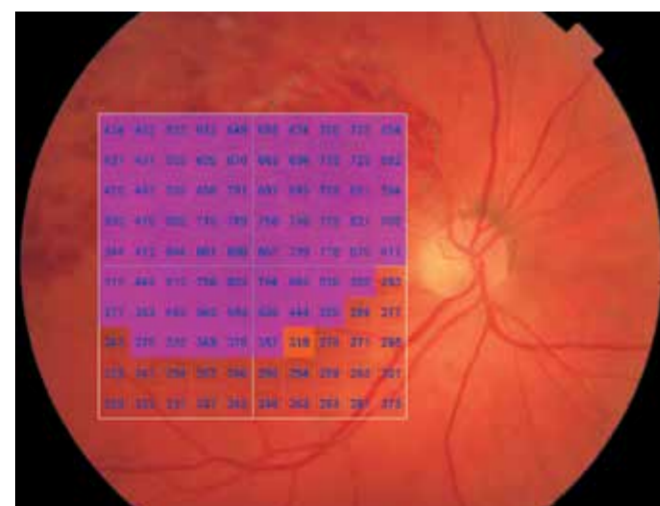


Рис. 270. Изображение глазного дна с наложением интегральной карты толщины сетчатки с цветовой дифференциацией и количественной характеристикой в 100 точках исследуемой области. Значительные изменения толщины сетчатки в фовеа и вышележащей области.

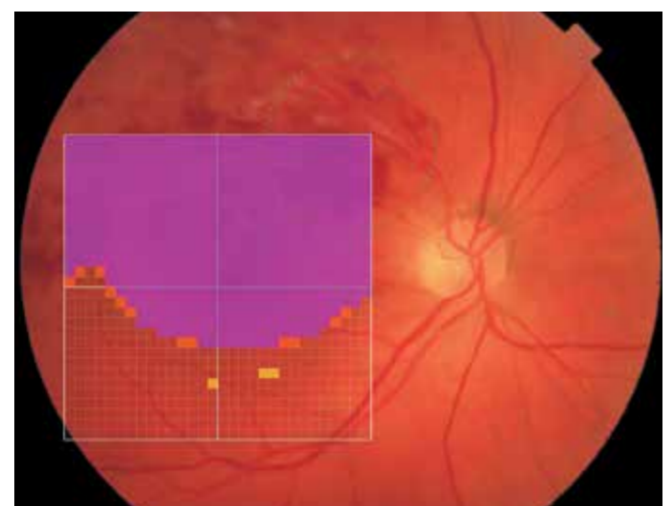


Рис. 271. Изображение глазного дна с наложением обзорной интегральной карты толщины сетчатки с цветовой дифференциацией.



Рис. 272. Цветовая топографическая интегральная карта толщины сетчатки в 9 секторах, наложенная на фундус-изображение глазного дна. Увеличение средних значений толщины сетчатки во всех исследуемых секторах, за исключением нижнего.

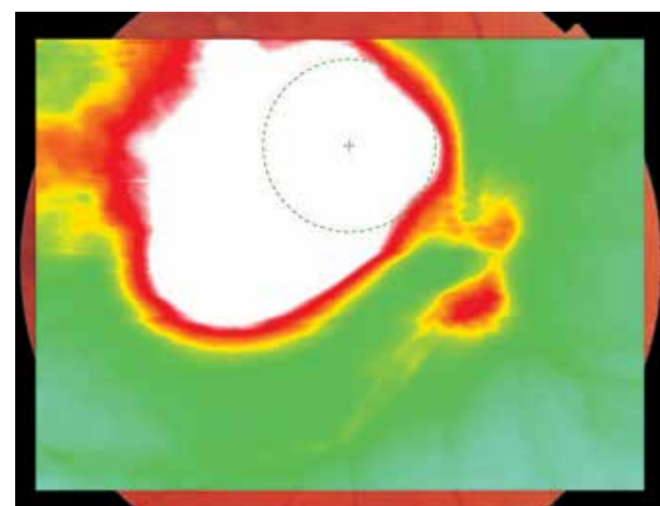


Рис. 273. Цветовая топографическая интегральная карта толщины сетчатки с наложением на фундус-изображение глазного дна. Значительное обширное изменение толщины сетчатки в центральной и вышележащей областях.

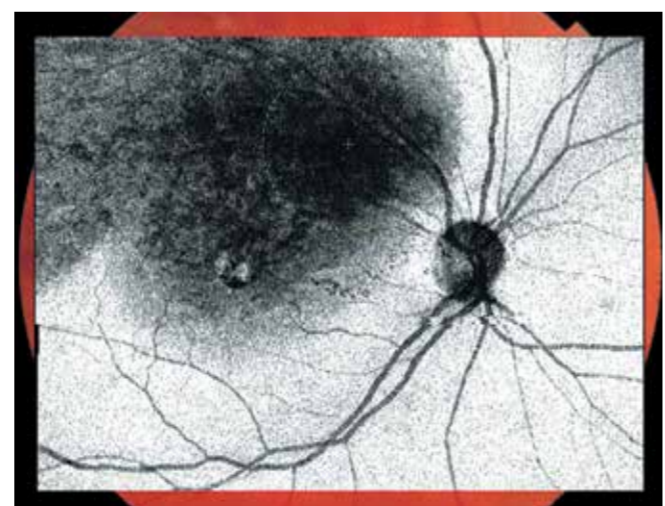


Рис. 274. Шедоуграмма. Визуализация структур глазного дна затруднена. Изменения в виде диффузного неравномерного затемнения в макулярной зоне и по ходу верхневисочной сосудистой аркады связаны с изменениями ткани сетчатки в данной области.

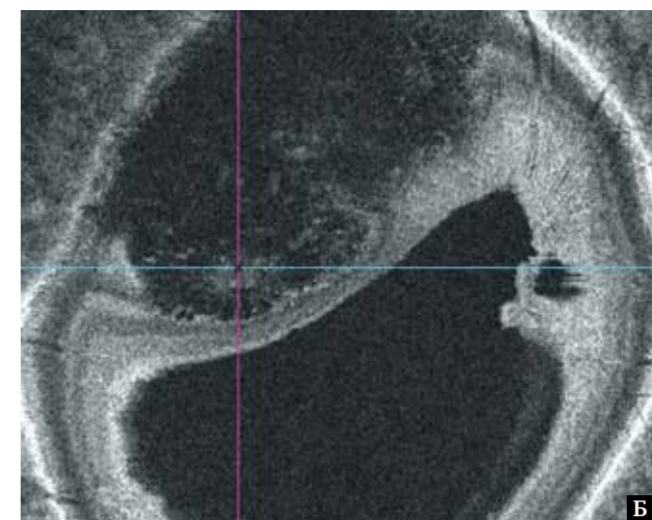
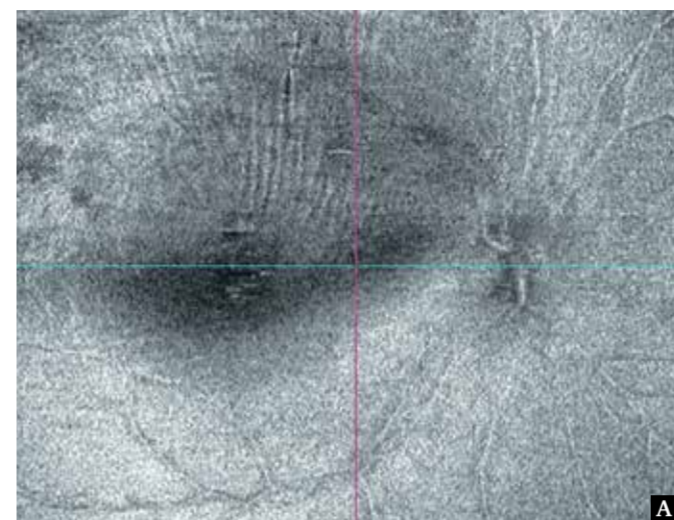


Рис. 275. Фронтальный срез Epi Face: А – в режиме flattening, адаптированный на уровне наружной пограничной мембраны. Изменения витреоретинального интерфейса в виде неравномерности контура и радиальной складчатости поверхности сетчатки. Гетерогенная зона в фовеа с пониженной эхогенностью обусловлена изменениями сетчатки в данной области; Б – в режиме slanting, адаптированный на уровне наружного ядерного слоя сетчатки. Неравномерная ограниченная зона с пониженной эхогенностью, охватывающая центральную и вышележащую области, обусловлена изменением ретинальной ткани.

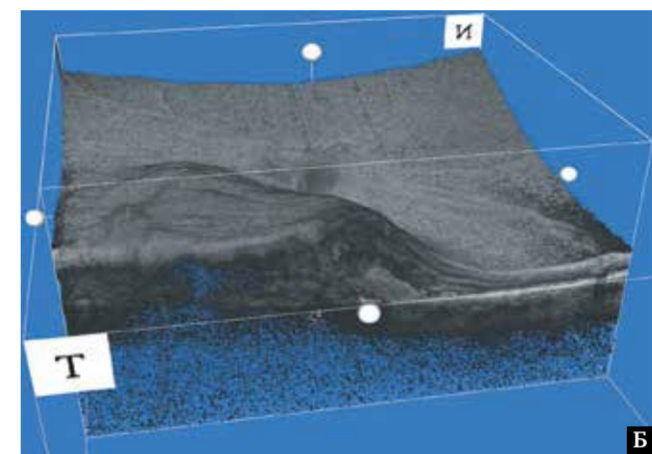
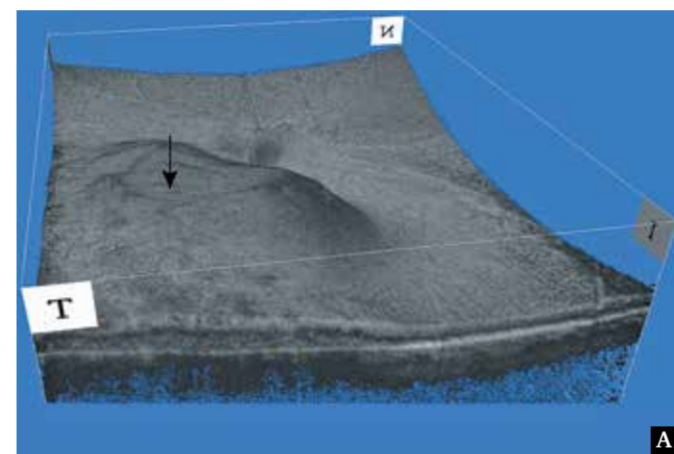


Рис. 276. Изображение поверхностного профиля сетчатки в формате 3D: А – неравномерная выраженная выпуклость поверхности сетчатки захватывает центральную и нижележащую области (черная стрелка); Б – срез макулярной области в сагиттальной плоскости, неравномерная приподнятость нейроэпителлия сетчатки с кистозным отеком в ядерных ретинальных слоях.

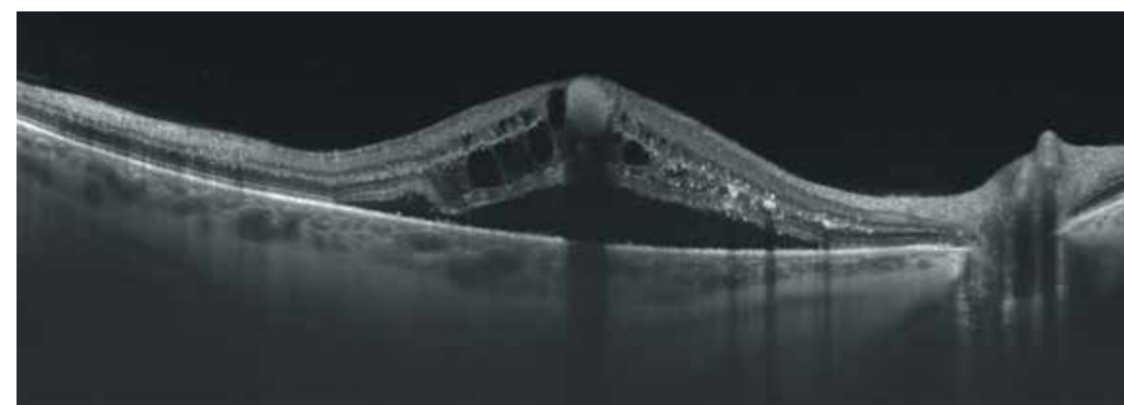


Рис. 277. В-сканограмма поперечного оптического среза диаметром 12 мм. Увеличение толщины сетчатки, конвекс-деформация ретинального профиля. В толще сетчатки – кистозный отек в виде множественных интратретинальных оптически пустых полостей разной формы и размера, твердые эксудаты в виде оптически плотных гиперэхогенных скоплений. Четко очерченный очаг мягкого эксудата на уровне внутренних слоев сетчатки в фовеа отбрасывает акустическую тень на нижележащие слои. Центральная серозная отслойка нейроэпителлия сетчатки.

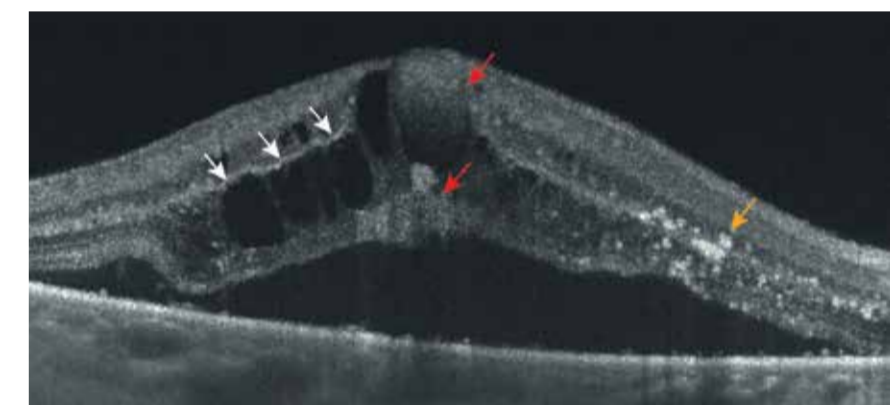


Рис. 278. В-сканограмма поперечного оптического среза диаметром 6 мм. Утолщение среза сетчатки с исчезновением центральной ямки с выпуклой деформацией профиля сетчатки. Кистозный отек визуализируется на уровне наружного ядерного слоя сетчатки (белые стрелки). Разнокалиберные полости неправильной формы с перемычками из резидуальной ткани сетчатки разной толщины. Содержимое кистозных полостей гипо- и анэхогенное. Стенки кистозных полостей гладкие. Множественные оптически плотные интратретинальные очаги – твердые эксудаты в правой части скана (желтая стрелка). Внутренняя поверхность серозной отслойки сетчатки неровная. В области фовеолы на уровне внутренних слоев – ограниченный очаг мягкого эксудата средней рефлективности, с дезорганизацией слоев сетчатки (красные стрелки). В области серозной отслойки наружные слои нейроэпителлия неровные, четко не дифференцируются. Линия ПЭС ровная, неравномерная.

ИЗДАТЕЛЬСТВО

Апрель

www.aprilpublish.ru

Выпускаем в Свет научные издания

Главная | Издательство | Периодические издания | Книги | Авторам | Услуги | Контакты

Глава 9. Врожденные и наследственные заболевания сетчатки

9.1. Болезнь Штаргардта

Клинический случай 2. Болезнь Штаргардта (симметричные изменения на правом и левом глазах)

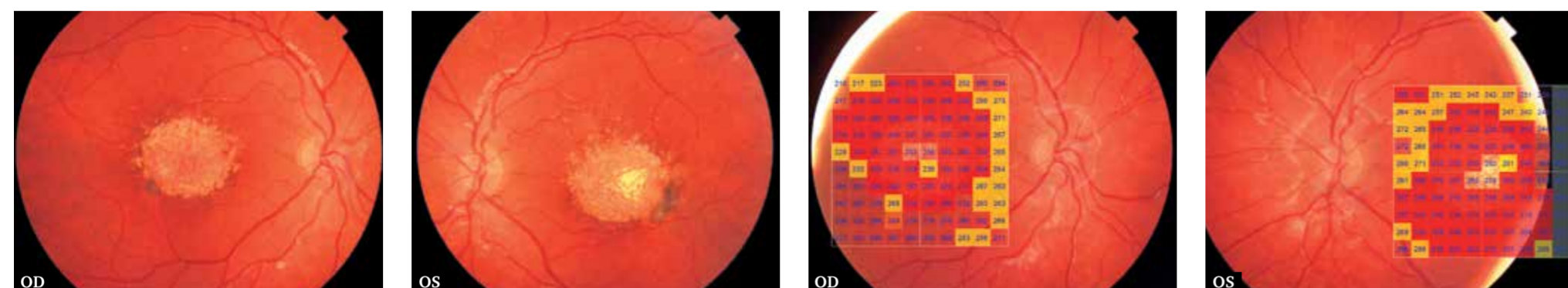


Рис. 349. Цветная фотография глазного дна. Крупный овальный очаг в макулярной области, размером около двух диаметров ДЗН, с неровными краями, атрофией пигментного и хориокапиллярного слоя. Усиление пигментации по краям очага. Гетерогенная крапчатость в виде беловато-желтоватых пятен вокруг очага связана с изменениями ПЭС. Парапапиллярно аномальный световой рефлекс.

Рис. 350. Изображение глазного дна с наложением интегральной карты толщины сетчатки с цветовой дифференциацией и количественной характеристикой в 100 точках исследуемой области. Выраженные изменения толщины сетчатки.

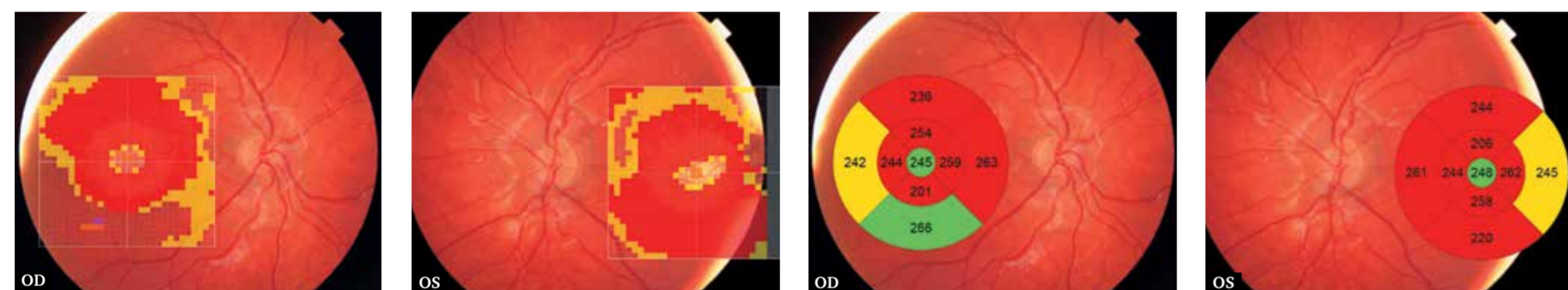


Рис. 351. Цветная фотография глазного дна с обзорным цифровым ячеистым картированием и цветовой дифференциацией.

Рис. 352. Изображение глазного дна с наложением интегральной карты средних числовых значений толщины сетчатки с цветовой дифференциацией в 9 секторах заданной области. Значительные изменения толщины сетчатки в парафовеа, перифовеа более выражены в левом глазу.

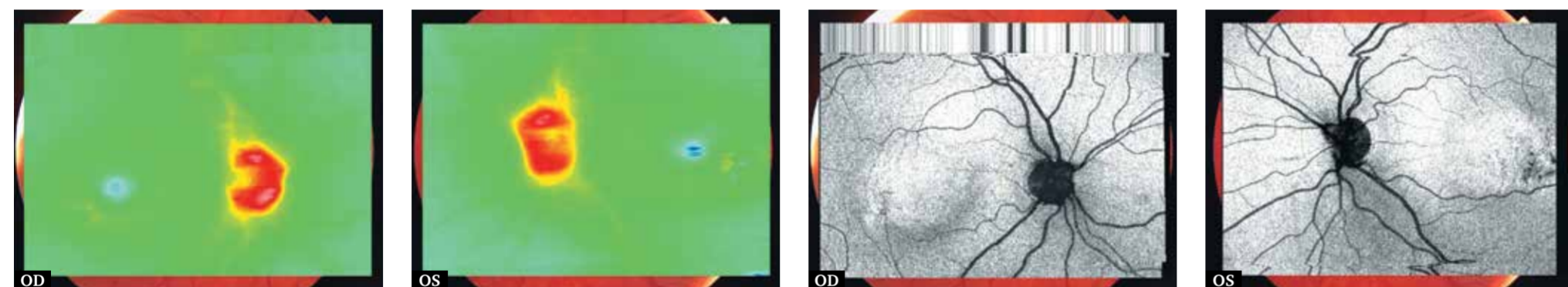


Рис. 353. Цветовая топографическая интегральная карта толщины сетчатки, наложенная на фундус-изображение глазного дна. Локальные изменения толщины сетчатки в макулярной области.

Рис. 354. Шедоуграмма. Отсутствие структур, препятствующих визуализации глазного дна. Калибр и ход сосудов не изменены. Крупный размытый овальный очаг локальной деколорации в макулярной зоне связан с изменениями ткани сетчатки в этой области.

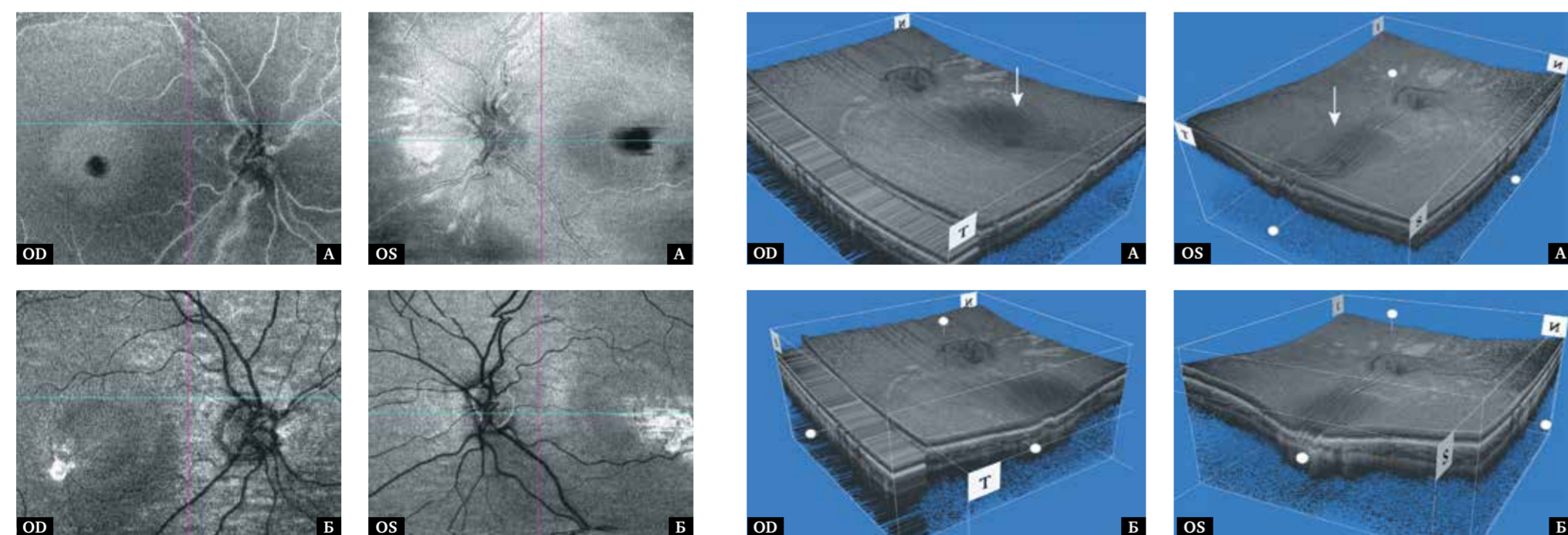


Рис. 355. Фронтальный срез En Face, адаптированный на уровне наружных слоев сетчатки:
А – в режиме slanting. Очаг интенсивного локального затемнения с четкими границами в области фовеа, контрастирующий с окружающими тканями, отражает изменение тканей сетчатки в данной области;
Б – в режиме flattening. Гетерогенная зона атрофии ретинальной ткани в макулярной области.

Рис. 356. Изображение поверхностного профиля сетчатки в формате 3D:
А – локальное равномерное углубление сетчатки в макулярной области (белая стрелка);
Б – срез фовеа в сагиттальной плоскости, склеральная депрессия и истончение сетчатки в центральной области.

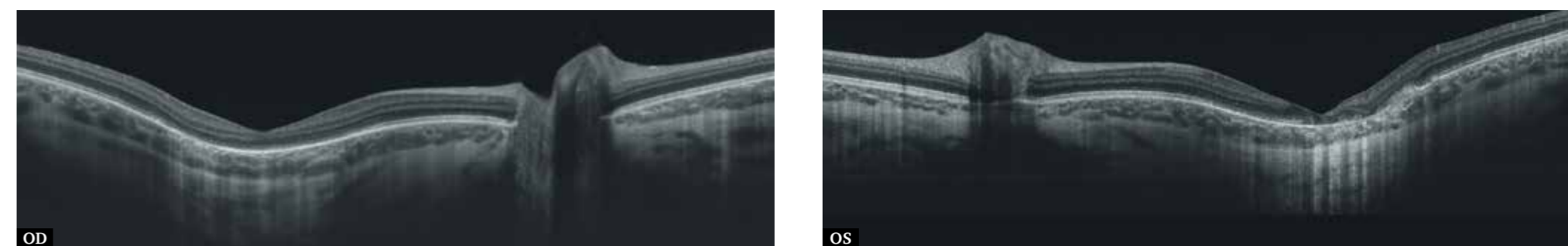


Рис. 357. В-сканограмма поперечного оптического среза диаметром 12 мм. Аномальный контур сетчатки со склеральной депрессией (стафилома). Дистрофические изменения сетчатки на уровне стафиломы (больше в левом глазу).

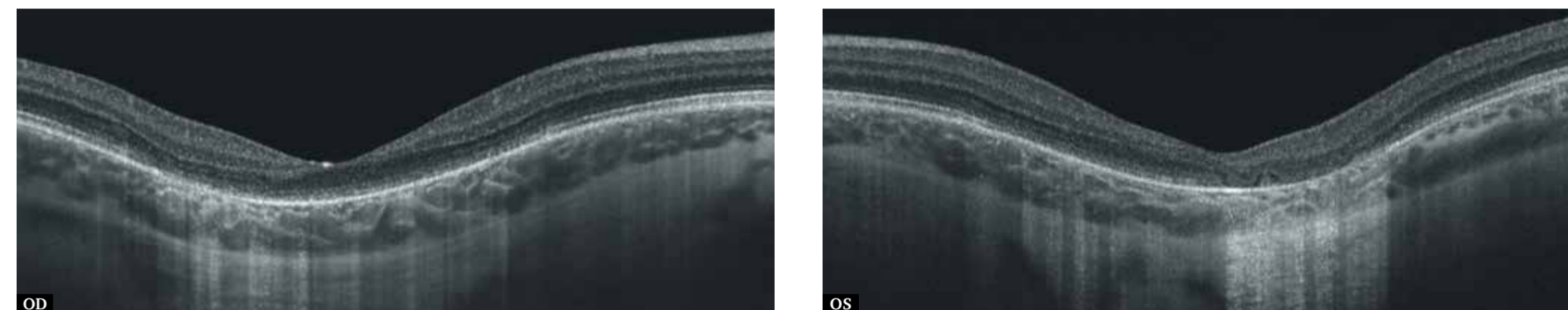


Рис. 358. В-сканограмма поперечного оптического среза диаметром 6 мм. Дегенерация наружных слоев сетчатки в зоне стафиломы. В области склеральной депрессии наружный пласт нейроэпителия четко не дифференцируется. В сосудистой оболочке явных изменений не выявлено.

Глава 10. Другие заболевания сетчатки

10.3. Географическая атрофия сетчатки (симметричные изменения на правом и левом глазах)

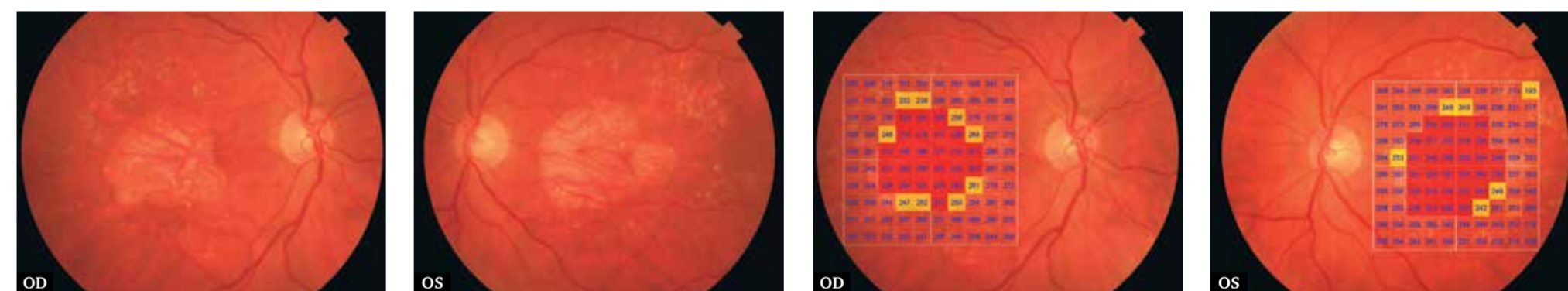


Рис. 410. Цветная фотография глазного дна. Очаг атрофических изменений ПЭС и слоя хориокапилляров в фовеа в виде большой ограниченной депигментированной зоны неправильной формы с четкими границами, через которую визуализируются крупные хориоидальные сосуды. Множественные небольшие друзы в виде светло-желтых очагов атрофии овальной, округлой или неправильной формы с четкими границами, расположенные по периферии от зоны депигментации в основном в верхневисочном квадранте. Ход и калибр сосудов не изменены.

Рис. 411. Изображение глазного дна с наложением интегральной карты толщины сетчатки с цветовой дифференциацией и количественной характеристикой в 100 точках исследуемой области. Значительные изменения толщины сетчатки охватывают центральную область.

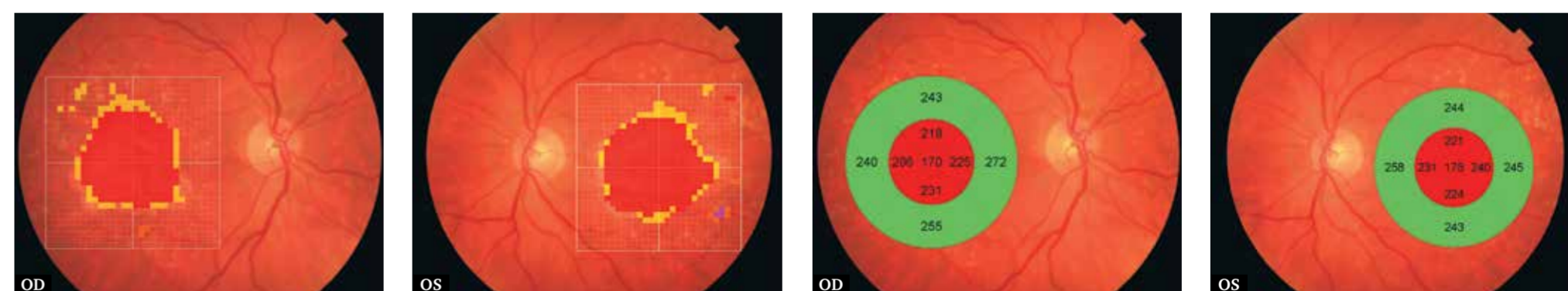


Рис. 412. Изображение глазного дна с наложением обзорной интегральной карты толщины сетчатки с цветовой дифференциацией.

Рис. 413. Цветовая топографическая интегральная карта толщины сетчатки в 9 секторах, наложенная на фундус-изображение глазного дна, демонстрирует патологическое истончение толщины сетчатки в фовеа и парафовеа.

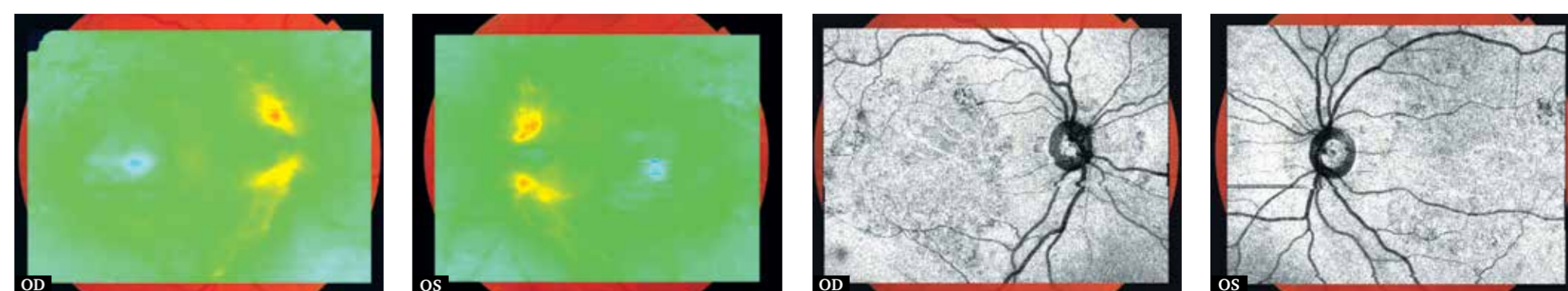


Рис. 414. Цветовая топографическая интегральная карта толщины сетчатки с наложением на фундус-изображение глазного дна. Области изменения толщины сетчатки в фовеа, парафовеа.

Рис. 415. Шедоуграмма. Отсутствие структур, препятствующих визуализации глазного дна. Отсутствие нарушений хода или калибра сосудов. Заметны изменения в макулярной области в виде обширных неравномерных очагов затемнения.

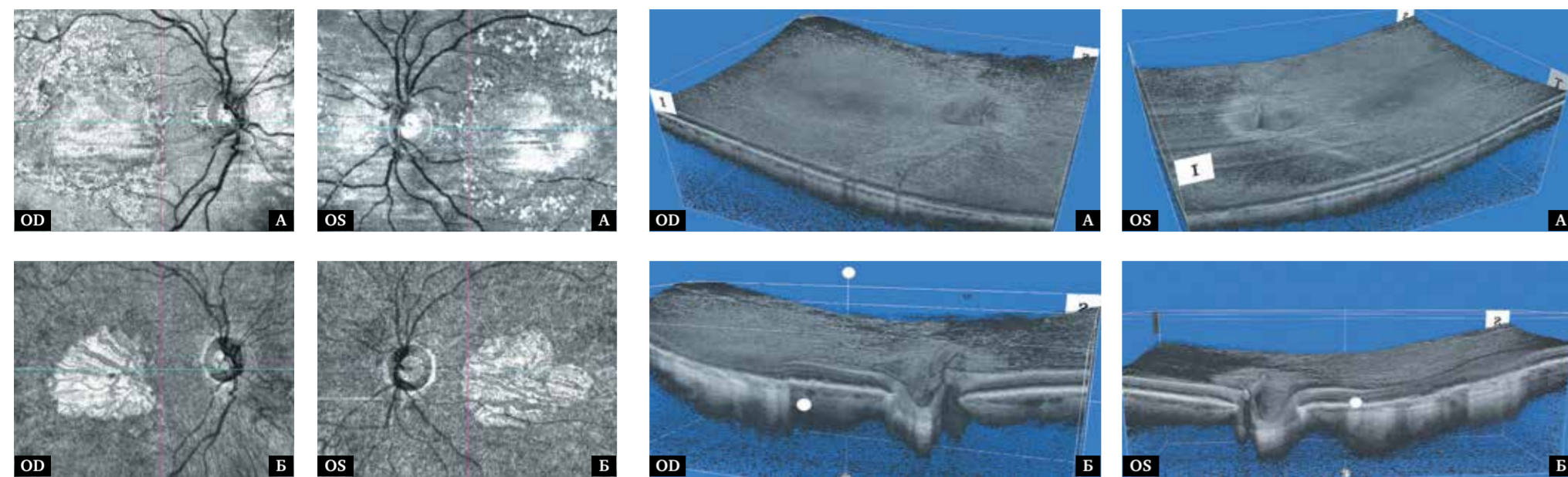


Рис. 416. Фронтальный срез En Face в режиме flattening, адаптированный: А – на уровне слоя ПЭС. Видна атрофия слоя ПЭС в макулярной области в виде крупного светлого очага и множественных очажков вокруг; Б – на уровне слоя хориокапилляров. Атрофия слоя хориокапилляров в макулярной области в виде крупного светлого очага с четкими границами и просвечиванием сосудов хориоидеи.

Рис. 417. Изображение поверхностного профиля сетчатки в формате 3D: А – отсутствие значительных изменений профиля сетчатки; Б – поперечный срез на уровне фовеа, истончение и дегенерация наружных слоев сетчатки, слоя ПЭС и хориокапилляров.

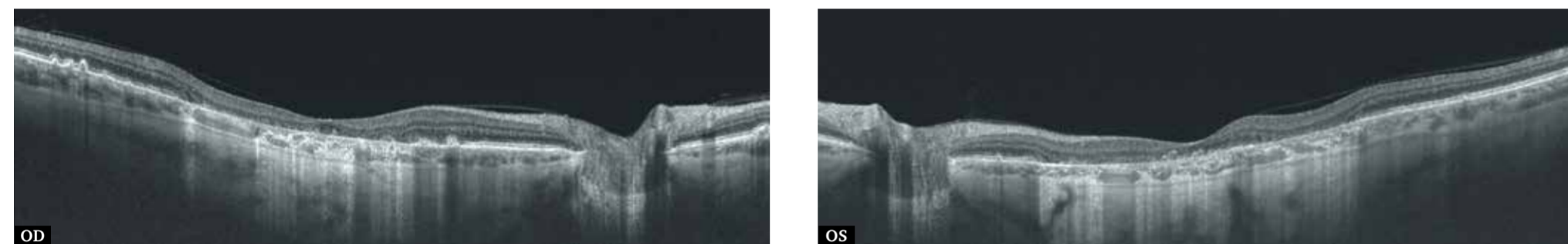


Рис. 418. В-сканогрaмма поперечного оптического среза диаметром 12 мм. Контур сетчатки изменен. Выраженное истончение сетчатки с отсутствием наружного ретинального пласта в центральной зоне.

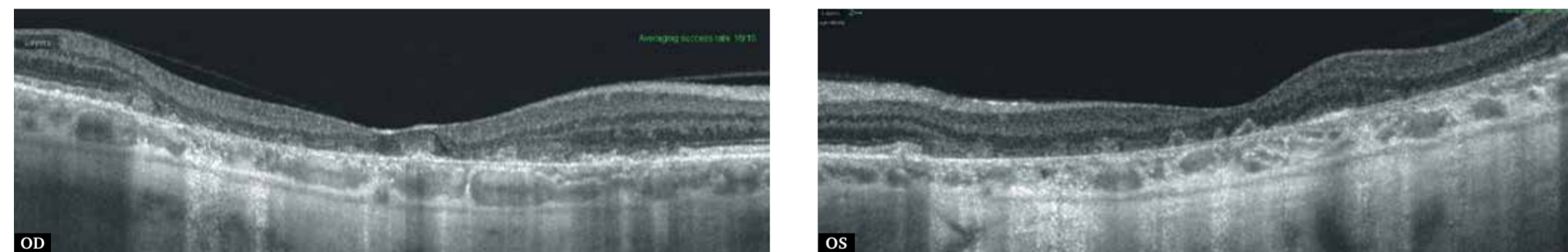


Рис. 419. В-сканогрaмма поперечного оптического среза диаметром 6 мм. Расширение и углубление центральной ямки. В центральной области архитектура сетчатки нарушена. Отсутствие наружного ядерного слоя и зон сетчатки, связанных с отростками фоторецепторов, – локальная вторичная атрофия фоторецепторного слоя сетчатки. Атрофия слоя ПЭС. Истончение сосудистой оболочки.

10.7. Посттравматические фиброваскулярные изменения сетчатки



Рис. 459. Цветная фотография глазного дна. Обширный гетерогенный проминирующий белесовато-сероватый очаг неправильной формы с четкими границами, расположенный преимущественно в центральной области.

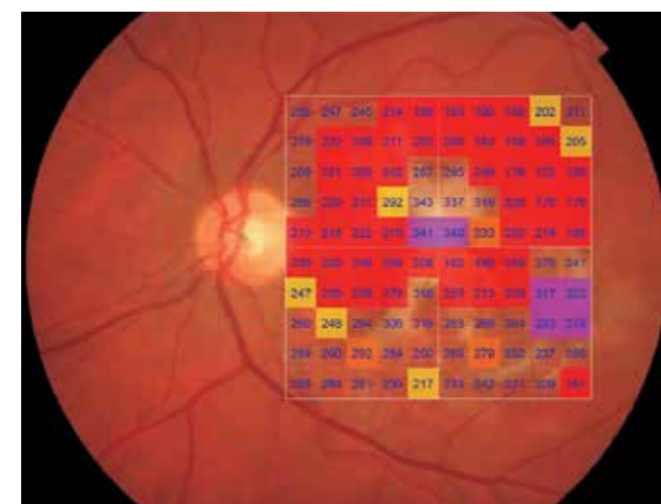


Рис. 460. Изображение глазного дна с наложением интегральной карты толщины сетчатки с цветовой дифференциацией и количественной характеристикой в 100 точках исследуемой области. Неравномерные изменения толщины сетчатки в макулярной области.

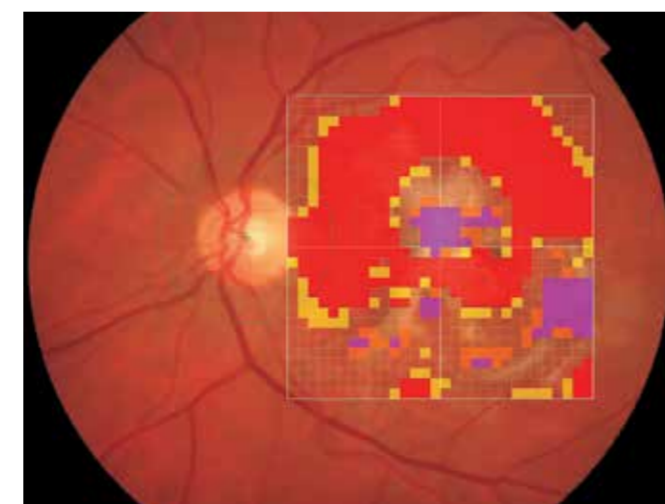


Рис. 461. Цветная фотография глазного дна с обзорным цифровым ячеистым картированием и цветовой дифференциацией.



Рис. 462. Изображение глазного дна с наложением интегральной карты средних числовых значений толщины сетчатки с цветовой дифференциацией в 9 секторах заданной области. Изменения толщины сетчатки выражены практически во всех исследуемых секторах.

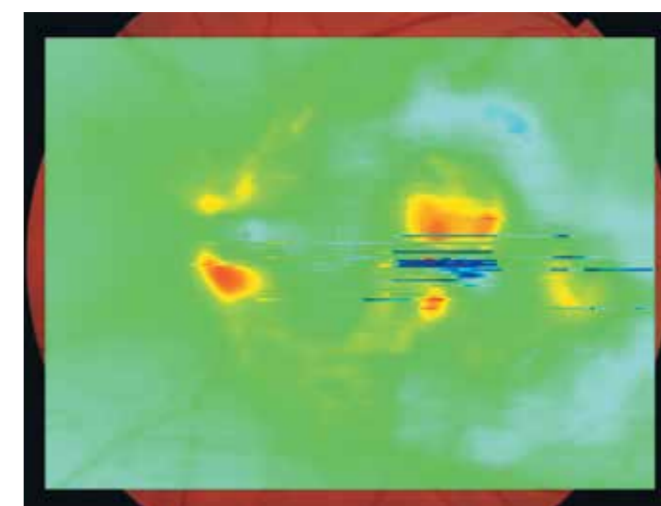


Рис. 463. Цветовая топографическая интегральная карта толщины сетчатки, наложенная на фундус-изображение глазного дна. Неравномерное изменение толщины сетчатки в макулярной области.

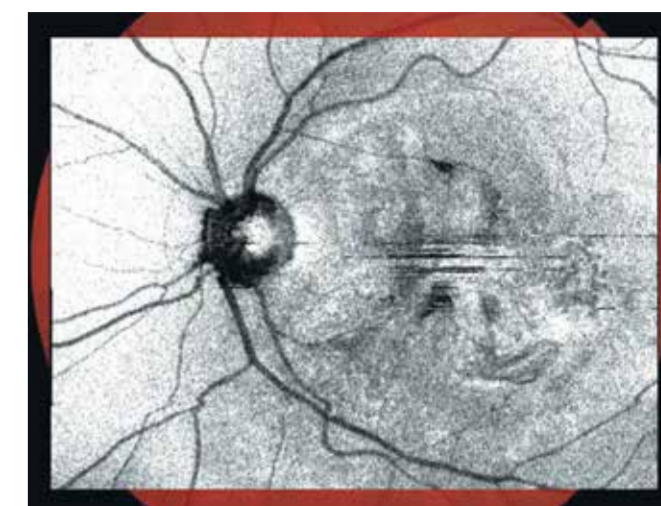


Рис. 464. Шедоугрaмма. Отсутствие структур, препятствующих визуализации глазного дна. Выраженная деформация поверхности сетчатки в макулярной области.

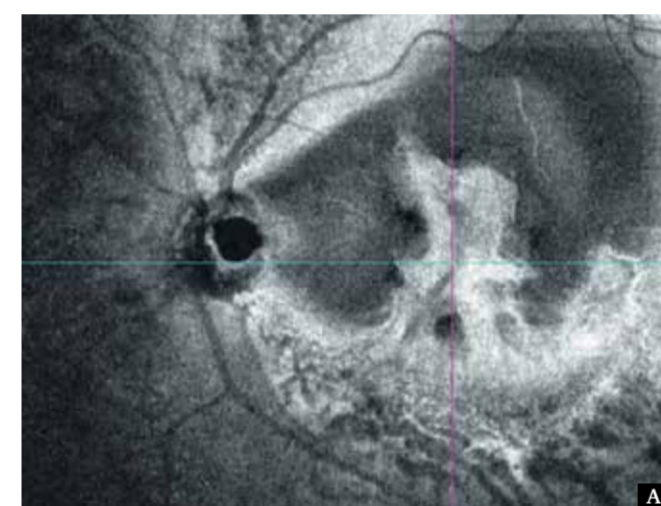
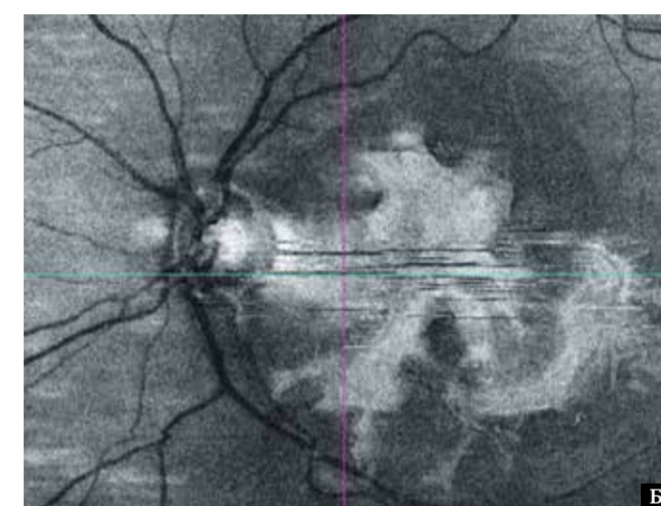


Рис. 465. Фронтальный срез En Face в режимах flattening и slanting на уровне наружных слоев сетчатки: А, Б – в макулярной области плотный гиперэхогенный очаг неправильной формы с четкими границами.



> Рис. 466. Изображение поверхностного профиля сетчатки в формате 3D: А – субретинальная фиброваскулярная мембрана в виде ограниченной выпуклости поверхности сетчатки в области фовеа, парафовеа (белая стрелка); Б – срез фовеа в поперечной и сагиттальной плоскостях, субретинальная фиброваскулярная мембрана в виде гиперрефлективного очага неправильной формы между нейроэпителием и ПЭС.

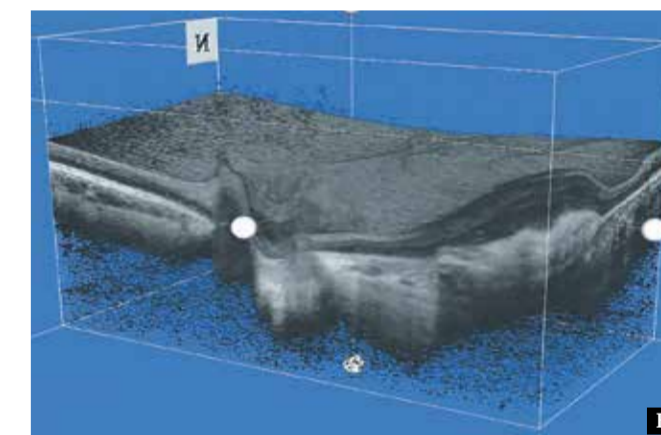
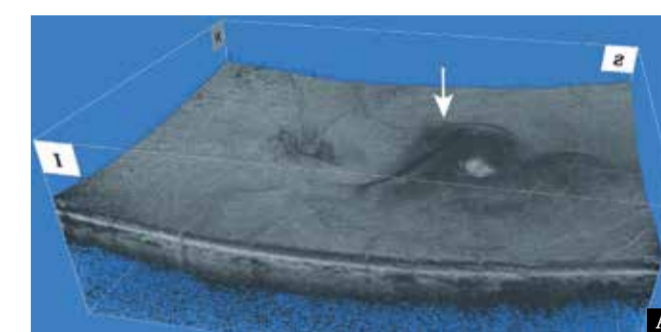


Рис. 467. В-сканогрaмма поперечного оптического среза диаметром 12 мм. Конвекс-деформация центральной области сетчатки за счет отека нейроэпителия и субретинальной неоваскулярной мембраны.

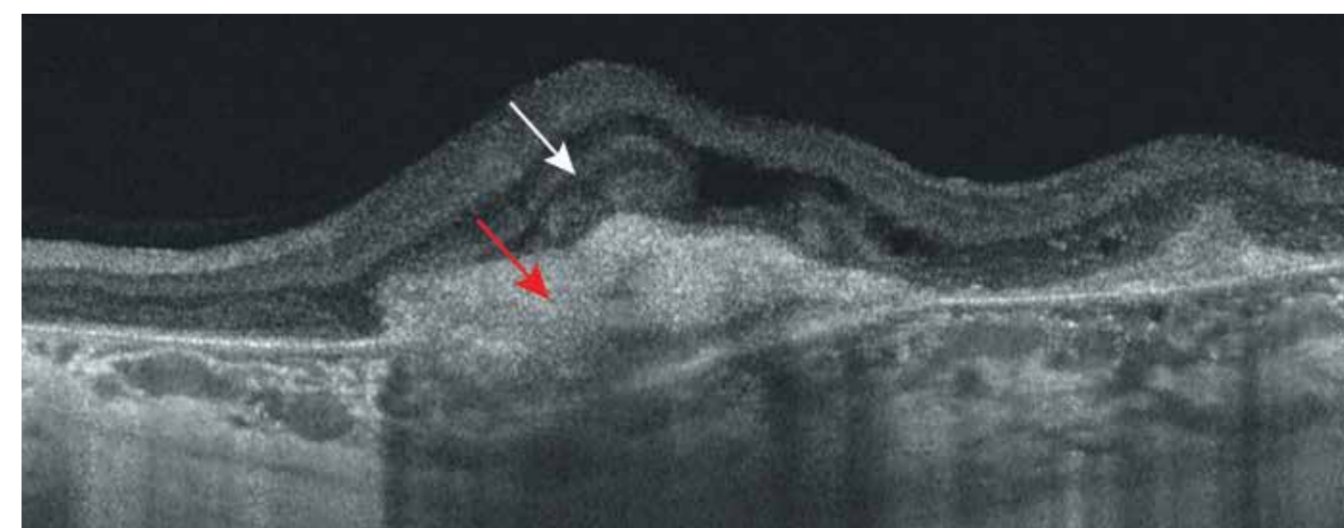
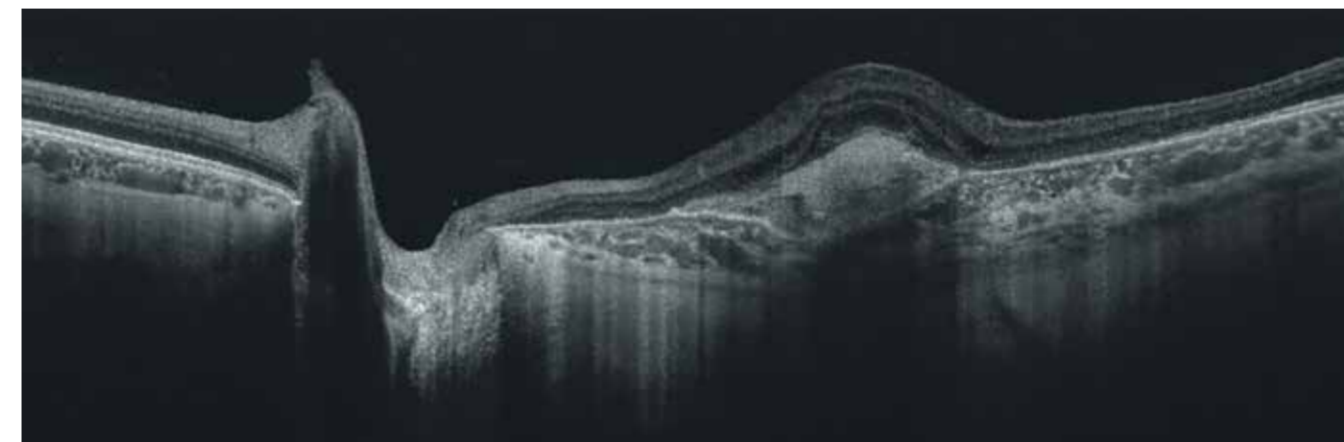


Рис. 468. В-сканогрaмма поперечного оптического среза диаметром 6 мм. Субретинальная неоваскулярная мембрана в стадии организации в виде массивного гетерогенного очага неправильной формы с четкими границами, спяющего со слоем ПЭС (красная стрелка). Деформация наружных ретинальных слоев с тенденцией к образованию тубулярных изменений в результате обширного поражения фоторецепторов (белая стрелка). Наружная пограничная мембрана и эллипсоидная зона разрушены. В области фиброваскулярной мембраны линия ПЭС деформирована, не исключается локальный посттравматический разрыв комплекса ПЭС – мембрана Бруха.

iSert® 150 iSert® 151
iSert® 250 iSert® 251

Предустановленная | Гидрофобная Акриловая

ПРОСТО,
БЫСТРО,
ПРЕДСКАЗУЕМО.

НА ПРАВАХ РЕКЛАМЫ



Surgix
ophthalmic surgical products

Дистрибьютор ООО "Серджикс"
www.surgix.ru | info@surgix.ru
+7 (495) 543-74-73

HOYA
SURGICAL OPTICS

ИЗДАТЕЛЬСТВО
Апрель

Приглашаем всех офтальмологов к сотрудничеству. Ждем ваших статей, интересных случаев из практики, репортажей.
Мы с удовольствием будем публиковать ваши материалы на страницах нашей газеты «Поле зрения».

Подписной индекс: 15392
www.aprilpublish.ru

Газета «ПОЛЕ ЗРЕНИЯ. Газета для офтальмологов». Учредитель: ООО «Издательство «АПРЕЛЬ». Свидетельство о регистрации средства массовой информации ПИ ФС77-43591 от 21.01.2011 г. Федеральная служба по надзору в сфере связи, информационных коммуникаций (Роскомнадзор). Периодичность: 1 раз в 2 месяца. Газета распространяется в Москве, Подмосковье и 60 регионах России. С предложениями о размещении рекламы звонить по тел. 8-917-541-70-73. E-mail: aprilpublish@mail.ru. Слайды, иллюстрирующие доклады, фото, предоставленные авторами, публикуются в авторской редакции. Издательство не несет ответственность за представленный материал (научные тексты, иллюстрации, рекламные блоки, текстовую рекламную информацию). Авторы гарантируют, что их статьи не являются плагиатом полностью или частично произведением других авторов. Перепечатка и любое воспроизведение материалов и иллюстраций допускается только с письменного разрешения газеты «Поле зрения». Дата выхода газеты: Декабрь 2019. Тираж 2000 экз. Газета изготовлена в ООО «Издательство «АПРЕЛЬ». Адрес издательства: 107023 Москва, площадь Журавлева, д. 10, офис 202. © «Поле зрения», 2019. © ООО «Издательство «АПРЕЛЬ». Отпечатано в типографии «CAPITAL PRESS». 111024, г. Москва, шоссе Энтузиастов, д. 11А, корп. 1.